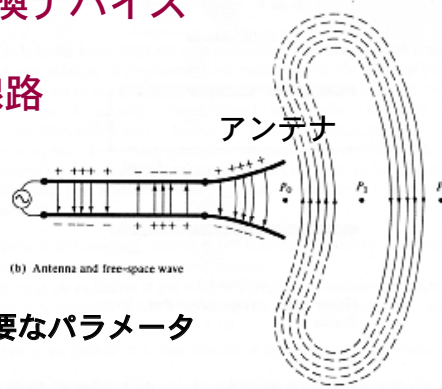


# アンテナについて

伝送線路（回路）と空間（媒質）とのインターフェイス回路

アンテナは変換デバイス

伝送線路

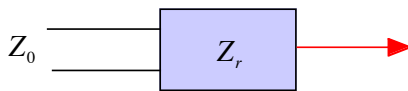


空間

★放射パターン

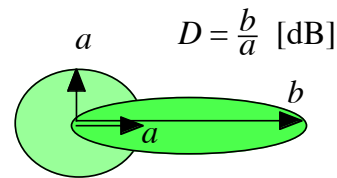
回路特性として重要なパラメータ

★インピーダンス



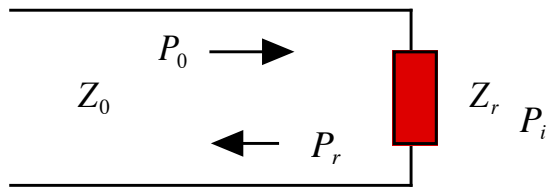
空間特性として重要なパラメータ

★利得, 指向性利得



## 回路素子としてのアンテナ

伝送線路から見ればアンテナはインピーダンス  $Z_r$  をもつ2端子回路



アンテナへ供給される電力

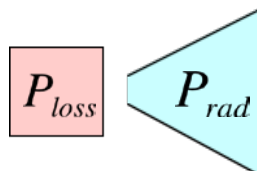
$$P_i = P_0 - P_r = P_0 (1 - |\Gamma_v|^2)$$

反射係数  $\Gamma_v = \frac{Z_r - Z_0}{Z_r + Z_0}$

インピーダンス整合の重要性

この電力が、  
アンテナから空間へ放射される電力  $P_{rad}$   
内部で消費される電力  $P_{loss}$   
になる。

$$P_i = P_{loss} + P_{rad}$$



放射効率  $k = \frac{P_{rad}}{P_{loss} + P_{rad}}$

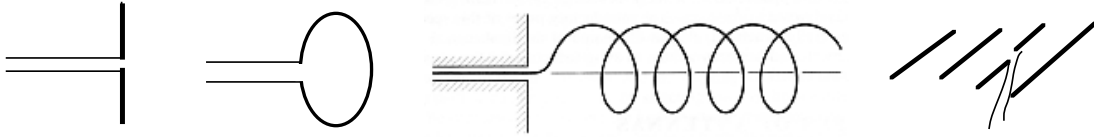
## アンテナに用いるパラメータ

	定義	dB表示	大きさ	設計目標
電圧反射係数 $\Gamma$	$\Gamma = \frac{Z_r - Z_0}{Z_r + Z_0}$	$20 \log  \Gamma $	$\leq 0$	$\Gamma = 0.1$ - 20 dB
VSWR $S$	$S = \frac{1 +  \Gamma }{1 -  \Gamma }$		$S \geq 1$	$S = 1.222$
反射減衰量 (リターンロス)	$L_R = \frac{1}{ \Gamma }$	$L_R = -20 \log  \Gamma $	$\geq 0$	+ 20 dB
電力透過係数	$T = (1 -  \Gamma ^2) = \frac{4S}{(1+S)^2}$	$10 \log T$	$\leq 0$	- 0.0436 dB
反射損	$M = \frac{1}{T}$	$10 \log M$	$\geq 0$	+ 0.0436 dB
負荷への入力電力 電源供給電力 $P_0$	$P_{in} = P_0 (1 -  \Gamma ^2)$		$P_{in} \leq P_0$	Pin= 0.99 Po

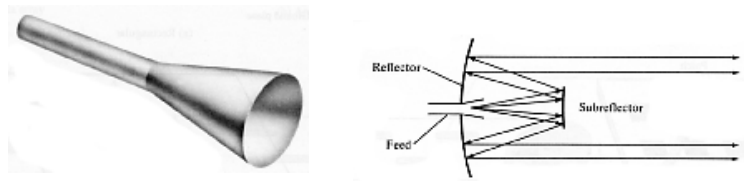
$\Gamma$	$20 \log  \Gamma $	VSWR	Pin/Po (%)	$\Gamma$	$20 \log  \Gamma $	VSWR	Pin/Po (%)
0.01	-40	1.02	99.99	0.26	-11.7	1.7	93.24
0.02	-33.98	1.04	99.96	0.27	-11.4	1.74	92.71
0.03	-30.46	1.06	99.91	0.28	-11.1	1.78	92.16
0.04	-27.96	1.08	99.84	0.29	-10.8	1.82	91.59
0.05	-26.00	1.11	99.75	0.3	-10.46	1.86	91
0.06	-24.44	1.13	99.64	0.31	-10.17	1.9	90.39
0.07	-23.10	1.15	99.51	0.32	-9.90	1.94	89.76
0.08	-21.94	1.17	99.36	0.33	-9.63	1.99	89.11
0.09	-20.92	1.20	99.19	0.34	-9.37	2.03	88.44
<b>0.10</b>	<b>-20</b>	<b>1.22</b>	<b>99</b>	0.35	-9.12	2.08	87.75
0.11	-19.17	1.25	98.79	0.36	-8.87	2.13	87.04
0.12	-18.42	1.27	98.56	0.37	-8.64	2.17	86.31
0.13	-17.72	1.30	98.31	0.38	-8.4	2.23	85.56
0.14	-17.08	1.33	98.04	0.39	-8.18	2.28	84.79
0.15	-16.48	1.35	97.75	0.4	-7.96	2.33	84
0.16	-15.92	1.38	97.44	0.41	-7.74	2.39	83.19
0.17	-15.39	1.41	97.11	0.42	-7.54	2.45	82.36
0.18	-14.89	1.44	96.76	0.43	-7.33	2.5	81.51
0.19	-14.42	1.47	96.39	0.44	-7.13	2.57	80.64
0.2	-13.98	1.5	96	0.45	-6.94	2.64	79.75
0.21	-13.56	1.53	95.59	0.46	-6.74	2.7	78.84
0.22	-13.15	1.56	95.16	0.47	-6.56	2.77	77.91
0.23	-12.77	1.60	94.71	0.48	-6.38	2.85	76.96
0.24	-12.40	1.63	94.24	0.49	-6.2	2.92	75.99
0.25	-12.04	1.67	93.75	<b>0.5</b>	<b>-6.02</b>	<b>3</b>	<b>75</b>

## アンテナの種類

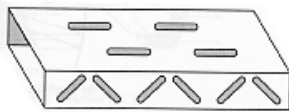
線状アンテナ(linear antenna)



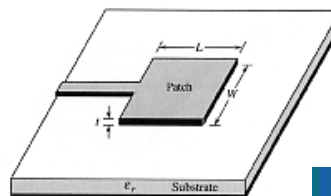
開口面アンテナ(aperture antenna)



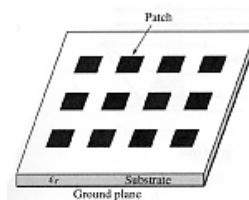
スロットアンテナ(slot)



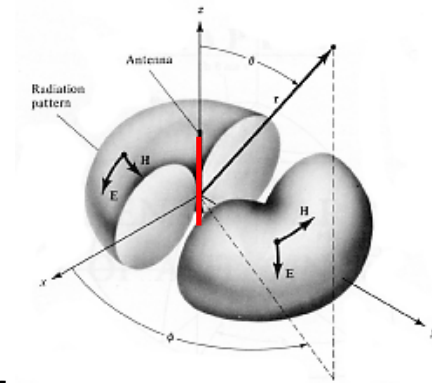
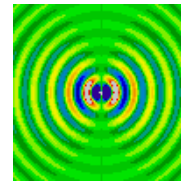
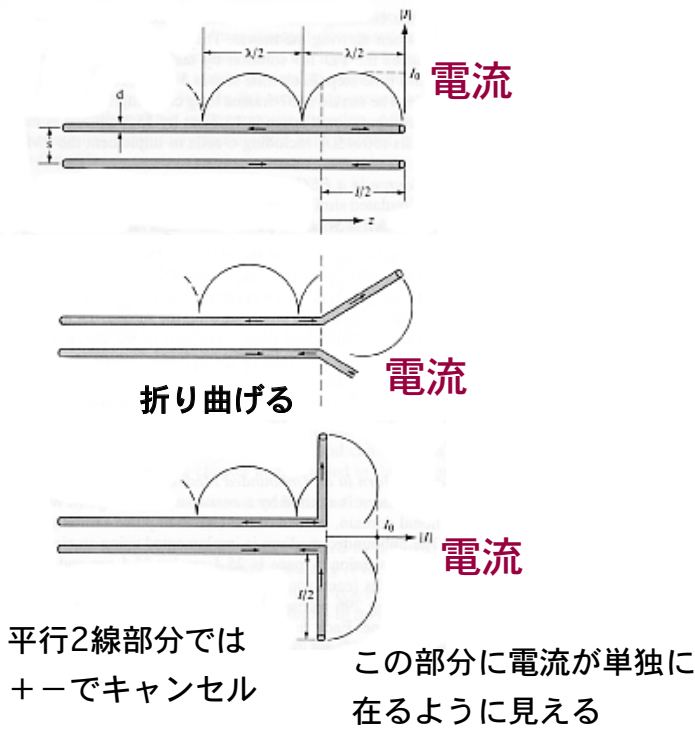
Micro-Strip antenna



アレーアンテナ  
(array antenna)



### 放射原理 (図解)



電流からの放射

### 放射の理論 (一覧)

電流が波源となって放射電磁界を作る

Maxwell 方程式

$$\nabla \times \mathbf{E} = - \frac{\partial \mathbf{B}}{\partial t}$$

$$\nabla \times \mathbf{H} = \frac{\partial \mathbf{D}}{\partial t} + \mathbf{J}$$

仲介役

ベクトルポテンシャル

$$\mathbf{B} = \nabla \times \mathbf{A}$$

ベクトルポテンシャルの波動方程式

$\mathbf{J}$  から直接  $\mathbf{E}, \mathbf{H}$  を導くことは困難

$$\nabla^2 \mathbf{A} + k^2 \mathbf{A} = - \mu_0 \mathbf{J}$$

解く ↓

$$\mathbf{H} = \frac{1}{\mu_0} \nabla \times \mathbf{A}$$

$$\mathbf{E} = -j\omega \left( \mathbf{A} + \frac{1}{k^2} \nabla \nabla \cdot \mathbf{A} \right)$$

$\mathbf{E}, \mathbf{H}$   
の表現

$$\mathbf{A}(\mathbf{r}) = \frac{\mu_0}{4\pi} \int_V \frac{\mathbf{J}}{r} e^{-jkr} dv$$

# ベクトルポテンシャルの支配方程式（波動方程式）の導出

$$B = \nabla \times A \quad \text{公式} \quad \nabla \times \nabla \phi \equiv 0$$

$$\nabla \times E = -\frac{\partial B}{\partial t} \longrightarrow \nabla \times (E + j\omega A) = 0 \longrightarrow E = -j\omega A - \nabla \phi$$

$\phi$  は任意のスカラーポテンシャル

$$B = \mu_0 H = \nabla \times A$$

$$\nabla \times H = \frac{\partial D}{\partial t} + J \longrightarrow \nabla \times \frac{1}{\mu_0} \nabla \times A = j\omega \epsilon_0 (-j\omega A - \nabla \phi) + J$$

$$\text{公式} \quad \nabla \times \nabla \times A = j\omega \epsilon_0 \mu_0 (-j\omega A - \nabla \phi) + \mu_0 J$$

$$\nabla \nabla \cdot A - \nabla^2 A = \omega^2 \epsilon_0 \mu_0 A - j\omega \epsilon_0 \mu_0 \nabla \phi + \mu_0 J$$

$$\nabla^2 A + k^2 A = \nabla (\nabla \cdot A + j\omega \epsilon_0 \mu_0 \phi) - \mu_0 J$$

Lorentz条件  $\nabla \cdot A + j\omega \epsilon_0 \mu_0 \phi = 0$  を仮定することができる

$$\phi \text{ の決定} \quad \phi = -\frac{\nabla \cdot A}{j\omega \epsilon_0 \mu_0}$$

ベクトルポテンシャルの満たすべき方程式

$$\nabla^2 A + k^2 A = -\mu_0 J$$

$$k^2 = \omega^2 \epsilon_0 \mu_0$$

9

$$\nabla \cdot D = \rho \longrightarrow \nabla \cdot (\epsilon_0 E) = -\epsilon_0 \nabla \cdot (j\omega A + \nabla \phi) = \rho \quad -j\omega \nabla \cdot A - \nabla^2 \phi = \frac{\rho}{\epsilon_0}$$

$$\text{Lorentz条件} \quad \nabla \cdot A + j\omega \epsilon_0 \mu_0 \phi = 0 \longrightarrow$$

$$k^2 = \omega^2 \epsilon_0 \mu_0 \quad \nabla^2 \phi + k^2 \phi = -\frac{\rho}{\epsilon_0}$$

磁界表現

$$H = \frac{1}{\mu_0} \nabla \times A$$

電界表現

$$E = -j\omega A - \nabla \phi = -j\omega A + \frac{\nabla \nabla \cdot A}{j\omega \epsilon_0 \mu_0} = -j\omega \left( A + \frac{\nabla \nabla \cdot A}{k^2} \right)$$

(電磁界の計算にはベクトル演算が必要)

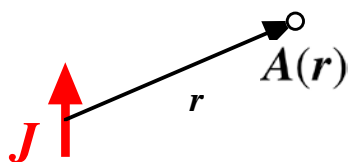
波動方程式

$$\nabla^2 A + k^2 A = -\mu_0 J$$

その解は

$$A(\mathbf{r}) = \frac{\mu_0}{4\pi} \int_V \frac{\mathbf{J}}{r} e^{-jkr} dv$$

で与えられる



10

# 時間変動の無い場合, ある場合の支配方程式とその解の比較

Static  
 $k=0$   $\nabla^2\phi = -\frac{\rho}{\epsilon_0}$

$\phi(\mathbf{r}) = \frac{1}{4\pi\epsilon_0} \int_{V'} \frac{\rho(\mathbf{r}')}{r} dv'$  (電磁気学1を参照)

Dynamic  
 $k \neq 0$   $\nabla^2\phi + k^2\phi = -\frac{\rho}{\epsilon_0}$

$\phi(\mathbf{r}) = \frac{1}{4\pi\epsilon_0} \int_{V'} \frac{\rho(\mathbf{r}')}{r} e^{-jk r} dv'$

$k = \omega \sqrt{\epsilon_0 \mu_0} = \frac{2\pi}{\lambda}$

$\frac{\rho}{\epsilon_0}$   
 $\mu_0 \mathbf{J}$

→

$\mathbf{r}$   
 $\phi(\mathbf{r})$  スカラーポテンシャル  
 $\mathbf{A}(\mathbf{r})$  ベクトルポテンシャル

Static  
 $k=0$   $\nabla^2\mathbf{A} = -\mu_0\mathbf{J}$

$\mathbf{A}(\mathbf{r}) = \frac{\mu_0}{4\pi} \int_{V'} \frac{\mathbf{J}(\mathbf{r}')}{r} dv'$  (電磁気学2を参照)

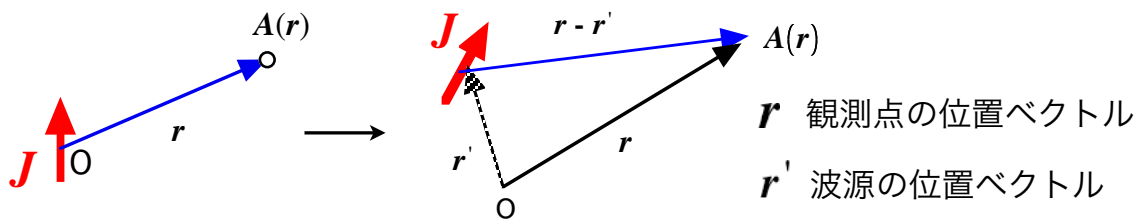
Dynamic  
 $k \neq 0$   $\nabla^2\mathbf{A} + k^2\mathbf{A} = -\mu_0\mathbf{J}$

$\mathbf{A}(\mathbf{r}) = \frac{\mu_0}{4\pi} \int_{V'} \frac{\mathbf{J}(\mathbf{r}')}{r} e^{-jk r} dv'$

時間変動のある場合には  $e^{-jk r}$  が付く



## 原点を移動 (波源が原点にあるとは限らない)



$$\mathbf{A}(\mathbf{r}) = \frac{\mu_0}{4\pi} \int_{V'} \frac{\mathbf{J}(\mathbf{r}')}{r} e^{-jk r} dv' \longrightarrow \mathbf{A}(\mathbf{r}) = \frac{\mu_0}{4\pi} \int_{V'} \frac{\mathbf{J}(\mathbf{r}')}{|\mathbf{r}-\mathbf{r}'|} e^{-jk|\mathbf{r}-\mathbf{r}'|} dv'$$

十分遠方では  $\frac{1}{|\mathbf{r}-\mathbf{r}'|} \approx \frac{1}{r}$   $V'$  波源の占める体積

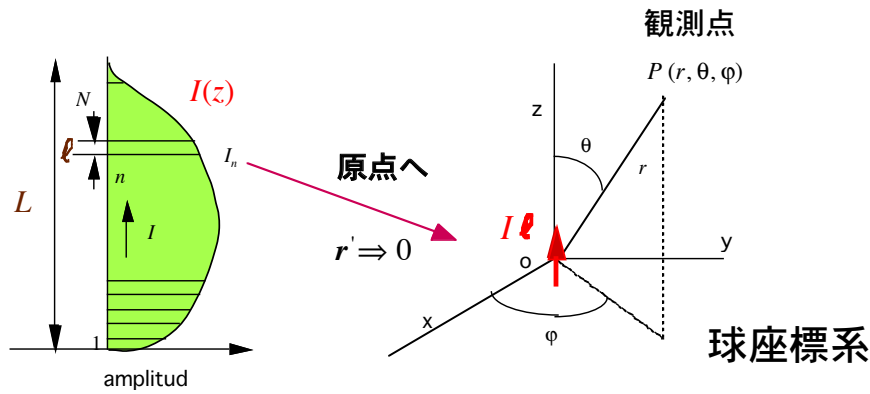
位相項は  $k|\mathbf{r}-\mathbf{r}'| = \frac{2\pi}{\lambda}|\mathbf{r}-\mathbf{r}'|$

近似できない  
のでそのまま

$$\mathbf{A}(\mathbf{r}) = \frac{\mu_0}{4\pi} \int_{V'} \frac{\mathbf{J}(\mathbf{r}')}{r} e^{-jk|\mathbf{r}-\mathbf{r}'|} dv'$$

基本例題

原点に置かれた微小電流素子からの放射



ベクトルポテンシャル  $A(\mathbf{r}) = \frac{\mu_0}{4\pi} \iiint_{vol} \frac{\mathbf{J}(\mathbf{r}') e^{-jk|\mathbf{r}-\mathbf{r}'|}}{r} dv'$   $r'=0$  から計算を始める

微小  $A \Rightarrow A_z = \frac{\mu_0 I l}{4\pi r} e^{-jkr}$  微小を利用して直接導出

球座標成分  $A_r = A_z \cos \theta, A_\theta = -A_z \sin \theta, A_\phi = 0$  座標変換

電磁界成分 (宿題: 以下を導くこと)

観測点 P で

$$E_r = \frac{\eta I l}{2\pi r} e^{-jkr} \left( \frac{1}{r} + \frac{1}{jkr^2} \right) \cos \theta$$

$$\eta = \sqrt{\frac{\mu_0}{\epsilon_0}} = 120 \pi$$

$$E_\theta = j \frac{\eta I l}{2\lambda r} e^{-jkr} \left( 1 + \frac{1}{jkr} - \frac{1}{k^2 r^2} \right) \sin \theta$$

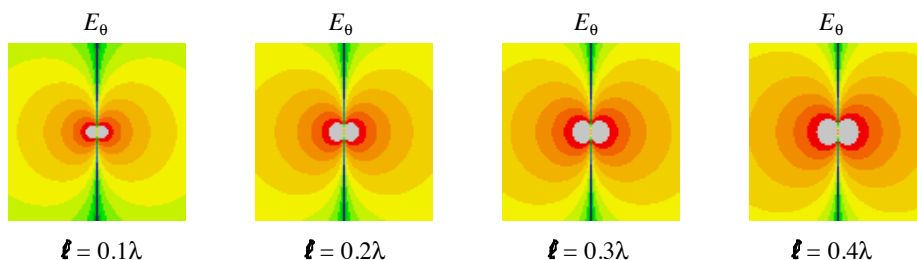
$\frac{1}{r}$  項のみ取り出すと

$$H_\phi = j \frac{I l}{2\lambda r} e^{-jkr} \left( 1 + \frac{1}{jkr} \right) \sin \theta$$

$$E_\theta = \eta H_\phi$$

が成り立つ

$$E_\phi = 0, H_r = 0, H_\theta = 0$$



## 電磁界成分の導出

球座標ベクトル公式 (宿題のヒント)

$$\mathbf{A} = A_r \mathbf{a}_r + A_\theta \mathbf{a}_\theta + A_\phi \mathbf{a}_\phi$$

$$\mathbf{A}(\mathbf{r}) = \frac{\mu_0}{4\pi} \iiint_{vol} \frac{\mathbf{J}(\mathbf{r}') e^{-jk|\mathbf{r}-\mathbf{r}'|}}{r} dV'$$

$$\nabla\phi = \mathbf{a}_r \frac{\partial\phi}{\partial r} + \mathbf{a}_\theta \frac{1}{r} \frac{\partial\phi}{\partial\theta} + \mathbf{a}_\phi \frac{1}{r \sin\theta} \frac{\partial\phi}{\partial\phi}$$

$$\nabla \cdot \mathbf{A} = \frac{1}{r^2} \frac{\partial}{\partial r} (r^2 A_r) + \frac{1}{r \sin\theta} \frac{\partial}{\partial\theta} (A_\theta \sin\theta) + \frac{1}{r \sin\theta} \frac{\partial A_\phi}{\partial\phi}$$

$$\mathbf{E} = -j\omega \left( \mathbf{A} + \frac{\nabla \nabla \cdot \mathbf{A}}{k^2} \right)$$

$$\mathbf{H} = \frac{1}{\mu_0} \nabla \times \mathbf{A}$$

$$\nabla \times \mathbf{A} = \frac{1}{r^2 \sin\theta} \begin{vmatrix} \mathbf{a}_r & r \mathbf{a}_\theta & r \sin\theta \mathbf{a}_\phi \\ \frac{\partial}{\partial r} & \frac{\partial}{\partial\theta} & \frac{\partial}{\partial\phi} \\ A_r & r A_\theta & r \sin\theta A_\phi \end{vmatrix}$$

## 電流素子からの電界各項の詳細

 $kr = 1$  ( $r = \lambda / 2\pi$ ) によって区別

$\frac{1}{r}$  — 放射電磁界 (遠方放射界)

$$E_\theta = j \frac{\eta I \ell}{2 \lambda r} e^{-jkr} \sin\theta \quad H_\phi = j \frac{I \ell}{2 \lambda r} e^{-jkr} \sin\theta$$

$\frac{1}{r^2}$  — 誘導電磁界

$$E_r = \frac{\eta I \ell}{2\pi r^2} e^{-jkr} \cos\theta = \frac{jk Q \ell}{2\pi \epsilon r^2} e^{-jkr} \cos\theta \Rightarrow 0$$

$$E_\theta = \frac{\eta I \ell}{4\pi r^2} e^{-jkr} \sin\theta = \frac{jk Q \ell}{4\pi \epsilon r^2} e^{-jkr} \sin\theta \Rightarrow 0$$

$$H_\phi = \frac{I \ell}{4\pi r^2} e^{-jkr} \sin\theta \Rightarrow \frac{I \ell}{4\pi r^2} \sin\theta \quad (\text{ビオサバール})$$

$$I \ell = \frac{d}{dt}(Q \ell) = j\omega(Q \ell)$$

$\frac{1}{r^3}$  — 電気双極子による電界

$$E_r = \frac{\eta I \ell}{2\pi r^2} e^{-jkr} \frac{1}{jkr} \cos\theta = \frac{Q \ell}{2\pi \epsilon r^3} e^{-jkr} \cos\theta \Rightarrow \frac{Q \ell}{2\pi \epsilon r^3} \cos\theta$$

$$E_\theta = \frac{\eta I \ell}{j 2 \lambda r} e^{-jkr} \frac{1}{k^2 r^2} \sin\theta = \frac{Q \ell}{4\pi \epsilon r^3} e^{-jkr} \sin\theta \Rightarrow \frac{Q \ell}{4\pi \epsilon r^3} \sin\theta$$



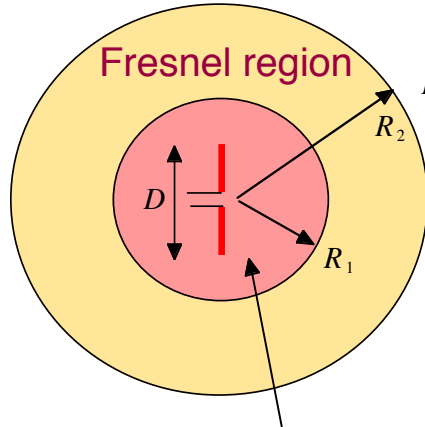
領域の区分

Far-field (Fraunhofer) region = 遠方放射界

$r > R_2$

$kr \gg 1$  では  $\frac{1}{r}$  項のみが残る

この例題では  $E_\theta = \eta H_\phi$  成分のみ



$R_2 = \frac{2D^2}{\lambda}$  (phase error =  $\frac{\pi}{8}$ ) **フレネル領域**

Dはアンテナの最大の長さ

$R_2 > r > R_1$

球面波として扱う必要あり

$R_1 = 0.62 \sqrt{\frac{D^3}{\lambda}}$   
(or =  $\frac{\lambda}{2\pi}$ )

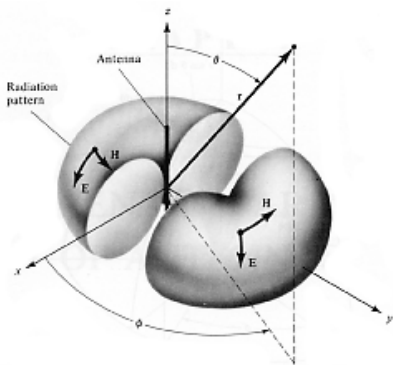
全ての成分を考慮する必要あり

Near-field region = 近傍界  $R_1 > r$

電界の空間 pattern

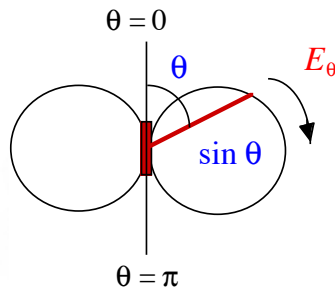
遠方放射界を対象とする

$\frac{1}{r}$  の項をもつ電磁界成分

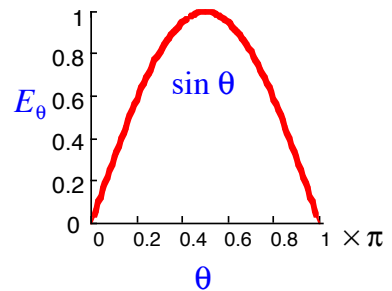


3次元表示

$r = \text{constant}$



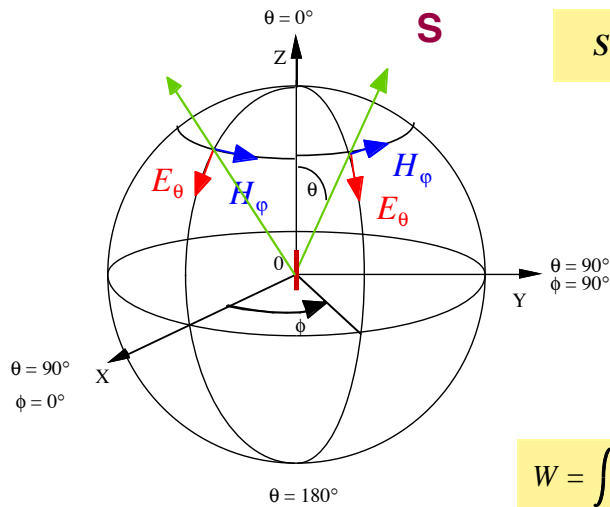
極座標表示



細部の状況を示すために使用

$$E_\theta = j \frac{\eta I l}{2 \lambda r} e^{-jkr} \sin \theta$$

## 放射電力について



正規(最大値1)化された  
電力パターン  
電界の2乗パターン

Poynting Vector  $\mathbf{S}$ 

$$\begin{aligned} \mathbf{S} &= \frac{1}{2} \operatorname{Re} (\mathbf{E} \times \mathbf{H}^*) = a_r S_r(\theta, \varphi) \\ &= a_\theta \times a_\varphi \frac{1}{2} E_\theta H_\varphi^* = a_r \frac{1}{2\eta} |E_\theta|^2 \quad * \text{は複素共役} \\ &= a_r \frac{\eta (I \ell)^2}{8 \lambda^2 r^2} \sin^2 \theta \quad \longrightarrow \text{電力密度を表す} \end{aligned}$$

微小電流素子から  
放射される全電力  $W$

→ 電力密度を面積で積分

$$W = \iint_S \mathbf{S}(\theta, \varphi) \cdot d\mathbf{S} = \frac{\eta (I \ell)^2}{8 \lambda^2} 2\pi \int_0^\pi \sin^3 \theta d\theta = 40\pi^2 I^2 \left(\frac{\ell}{\lambda}\right)^2$$

$$dS = r^2 \sin \theta d\theta d\varphi a_r \quad \text{放射電力は} \left(\frac{\ell}{\lambda}\right)^2 \text{に比例}$$

$$P_n(\theta, \varphi) = \frac{S(\theta, \varphi)}{S(\theta, \varphi)_{\max}} = \sin^2 \theta$$

## Problem

Poynting Vector  $\mathbf{S} = \frac{1}{2} \operatorname{Re} (\mathbf{E} \times \mathbf{H}^*) = a_r S_r(\theta, \varphi)$  に対して

$$\mathbf{S} = a_r S_r(\theta, \varphi) = a_r \frac{A_0}{r^2} \text{ [W/m}^2\text{]}$$

$$\mathbf{S} = a_r S_r(\theta, \varphi) = a_r \frac{A_0 \sin \theta}{r^2} \text{ [W/m}^2\text{]}$$

$$\mathbf{S} = a_r S_r(\theta, \varphi) = a_r \frac{A_0 \sin^2 \theta}{r^2} \text{ [W/m}^2\text{]}$$

アンテナから放射される全電力  $W = ?$

正規化された電力パターン  $P = ?$

## Answer

$$W = \iint_S S_r(\theta, \varphi) dS \quad dS = r^2 \sin \theta d\theta d\varphi \quad P_n(\theta, \varphi) = \frac{S(\theta, \varphi)}{S(\theta, \varphi)_{\max}}$$

$$W = \int_{\varphi=0}^{2\pi} \int_{\theta=0}^{\pi} \frac{A_0}{r^2} r^2 \sin \theta d\theta d\varphi = 2\pi \int_{\theta=0}^{\pi} A_0 \sin \theta d\theta = 4\pi A_0$$

$$P_n(\theta, \varphi) = 1 \quad (\text{isotropic antenna})$$

$$W = \int_{\varphi=0}^{2\pi} \int_{\theta=0}^{\pi} \frac{A_0 \sin^2 \theta}{r^2} r^2 \sin \theta d\theta d\varphi = 2\pi \int_{\theta=0}^{\pi} A_0 \sin^2 \theta d\theta = \pi^2 A_0$$

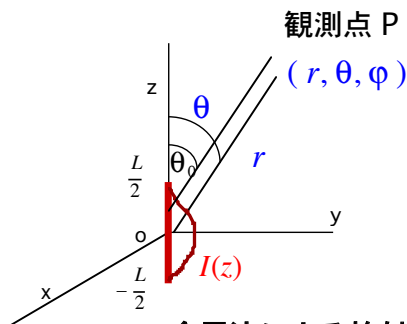
$$P_n(\theta, \varphi) = \sin \theta$$

$$W = \int_{\varphi=0}^{2\pi} \int_{\theta=0}^{\pi} \frac{A_0 \sin^3 \theta}{r^2} r^2 \sin \theta d\theta d\varphi = 2\pi \int_{\theta=0}^{\pi} A_0 \sin^3 \theta d\theta = \frac{8\pi}{3} A_0$$

$$(t = \cos \theta)$$

$$P_n(\theta, \varphi) = \sin^2 \theta \quad (\text{small dipole})$$

## z 軸上の有限長電流による放射電界

 $I(z)$ 微小電流素子  $I \Delta z$  の結果を使う

$$E_\theta = j \frac{\eta I l}{2 \lambda r} e^{-jk r} \sin \theta \quad (I \Delta z \text{ が原点にある場合})$$

 $r' \neq 0$  だから  $I \Delta z \Rightarrow I(z) \Delta z$  位置の関数

$$\Delta E_\theta = j \frac{\eta I(z) \Delta z}{2 \lambda |r - r'|} e^{-jk|r - r'|} \sin \theta_0$$

 $|r - r'|$  電流素子の点  $z$  と観測点の距離 $\theta_0$  z 軸上の電流素子と観測点のなす角度

## 全電流による放射電界は合成 (重ね合わせの理)

 $r \gg \lambda$  では

$$\sin \theta_0 \cong \sin \theta$$

$$k|r - r'| \cong kr - kz \cos \theta$$

$$\frac{1}{|r - r'|} \cong \frac{1}{r}$$

$$E_\theta = \lim_{\Delta z \rightarrow 0} \sum \Delta E_\theta = j \frac{\eta}{2 \lambda} \int_{-L/2}^{L/2} \frac{I(z) e^{-jk|r - r'|} dz}{|r - r'|} \sin \theta_0$$

$$E_\theta = j \frac{\eta \sin \theta}{2 \lambda r} e^{-jkr} \int_{-L/2}^{L/2} I(z) e^{jkz \cos \theta} dz$$

## z 軸上の電流による放射電界

$$E_{\theta} = j \frac{\eta \sin \theta}{2 \lambda r} e^{-jk r} \int_{-L/2}^{L/2} I(z) e^{jk z \cos \theta} dz$$

電流素子の長さ  $L$   $-\frac{L}{2} < z < \frac{L}{2}$

電流分布  $I(z)$  未定 (分からない)

$$I(z) = I_0$$

$$I(z) = I_0 \exp(-j\varphi z)$$

$$I(z) = I_0 \cos kz$$

$$I(z) = I_0 \sin \left[ k \left( \frac{L}{2} - |z| \right) \right]$$

←  $I(z)$  を仮定する

電流は端部で0という境界条件を考慮

## Dipole antenna

半波長  $L = \frac{\lambda}{2}$



電流分布  $I(z) = I_0 \cos kz$

を仮定してみる (実験結果と良く一致する)

$$E_{\theta} = \eta H_{\varphi} = j \frac{\eta \sin \theta}{2 \lambda r} e^{-jk r} \int_{-\lambda/4}^{\lambda/4} I_0 \cos kz e^{jk z \cos \theta} dz = j \frac{\eta I_0}{2 \pi r} \frac{\cos \left( \frac{\pi}{2} \cos \theta \right)}{\sin \theta} e^{-jk r}$$

注1 積分 (次頁)

全放射電力  $W = \iint_S S(\theta, \varphi) dS = \frac{1}{2} I_0^2 R_a$

$$= 30 I_0^2 \int_0^{\pi} \frac{\cos^2 \left( \frac{\pi}{2} \cos \theta \right)}{\sin \theta} d\theta = 36.56 I_0^2$$

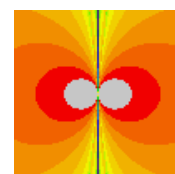
Power pattern

$$P_n(\theta, \varphi) = \frac{\cos^2 \left( \frac{\pi}{2} \cos \theta \right)}{\sin^2 \theta}$$

放射抵抗  $R_a = \frac{2W}{I_0^2} = 73.13 [\Omega]$

給電線路と整合している

給電線路の特性インピーダンスは  
高周波では  $50 [\Omega]$



## 注1 積分

$$\begin{aligned}
\int_{-\lambda/4}^{\lambda/4} \cos kz e^{jkz \cos \theta} dz &= \frac{1}{2} \int_{-\lambda/4}^{\lambda/4} (e^{jkz} + e^{-jkz}) e^{jkz \cos \theta} dz \\
&= \frac{1}{2} \int_{-\lambda/4}^{\lambda/4} e^{jk(\cos \theta + 1)z} dz + \frac{1}{2} \int_{-\lambda/4}^{\lambda/4} e^{jk(\cos \theta - 1)z} dz \\
&= \frac{1}{2} \frac{1}{jk} \frac{1}{\cos \theta + 1} \left[ e^{j\frac{2\pi}{\lambda}(\cos \theta + 1)z} \right]_{-\lambda/4}^{\lambda/4} + \frac{1}{2} \frac{1}{jk} \frac{1}{\cos \theta - 1} \left[ e^{j\frac{2\pi}{\lambda}(\cos \theta - 1)z} \right]_{-\lambda/4}^{\lambda/4} \\
&= \frac{1}{k} \frac{1}{\cos \theta + 1} \sin \frac{\pi}{2}(\cos \theta + 1) + \frac{1}{k} \frac{1}{\cos \theta - 1} \sin \frac{\pi}{2}(\cos \theta - 1) \\
&= \frac{1}{k} \frac{1}{\cos \theta + 1} \cos \left( \frac{\pi}{2} \cos \theta \right) - \frac{1}{k} \frac{1}{\cos \theta - 1} \cos \left( \frac{\pi}{2} \cos \theta \right) \\
&= \frac{2}{k} \frac{1}{\sin^2 \theta} \cos \left( \frac{\pi}{2} \cos \theta \right) = \frac{\lambda}{\pi} \frac{1}{\sin^2 \theta} \cos \left( \frac{\pi}{2} \cos \theta \right)
\end{aligned}$$

25

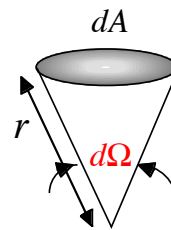
## Dipole continued

立体角

$$d\Omega = \frac{dA}{r^2} = \sin \theta d\theta d\phi$$

ビーム立体角

$$\begin{aligned}
\Omega_A &= \iint_{4\pi} P_n(\theta, \phi) d\Omega \\
&= \iint_0^\pi \frac{\cos^2 \left( \frac{\pi}{2} \cos \theta \right)}{\sin^2 \theta} \sin \theta d\theta d\phi = 2\pi \times 1.2188
\end{aligned}$$

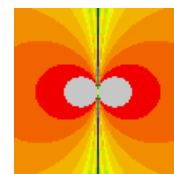
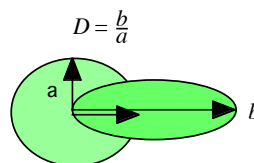


指向性利得

$$D = \frac{4\pi}{\Omega_A} = \frac{4\pi}{2\pi \times 1.2188} = 1.64 = 2.15 \text{ dB}$$

$$D(\text{dB}) = 10 \log_{10} D$$

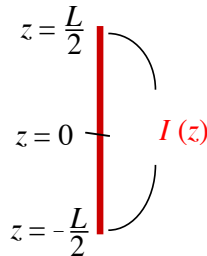
最大方向で等方性アンテナの電力と比べて、どの程度大きく放射するかの尺度



基準アンテナとして用いる場合が多い

26

長さLの線では、端部で0となる電流分布を仮定



$$I(z) = I_0 \sin \left[ k \left( \frac{L}{2} - z \right) \right] \quad \text{for } 0 \leq z \leq \frac{L}{2}$$

$$I(z) = I_0 \sin \left[ k \left( \frac{L}{2} + z \right) \right] \quad \text{for } -\frac{L}{2} \leq z \leq 0$$

$$dE_\theta = \frac{jk\eta I_0 e^{-jkr}}{4\pi r} \sin \theta e^{jkz \cos \theta} dz \begin{cases} \sin \left[ k \left( \frac{L}{2} - z \right) \right] & \text{for } 0 \leq z \leq \frac{L}{2} \\ \sin \left[ k \left( \frac{L}{2} + z \right) \right] & \text{for } -\frac{L}{2} \leq z \leq 0 \end{cases}$$

電界  $E_\theta = \int_0^{\frac{L}{2}} dE_\theta + \int_{-\frac{L}{2}}^0 dE_\theta = j60 I_0 \frac{e^{-jkr}}{r} \left[ \frac{\cos \left( \frac{kL}{2} \cos \theta \right) - \cos \left( \frac{kL}{2} \right)}{\sin \theta} \right]$

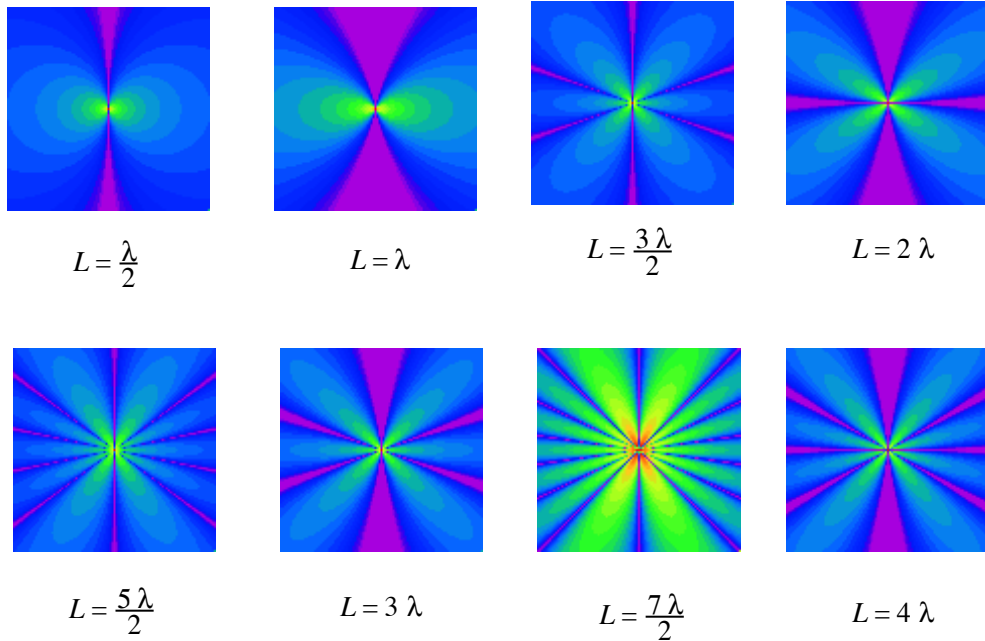
注2 積分

Poynting Power  $S_r(\theta) = \frac{1}{2\eta} |E_\theta|^2 = \frac{15 I_0^2}{\pi r^2} \left[ \frac{\cos \left( \frac{kL}{2} \cos \theta \right) - \cos \left( \frac{kL}{2} \right)}{\sin \theta} \right]^2$

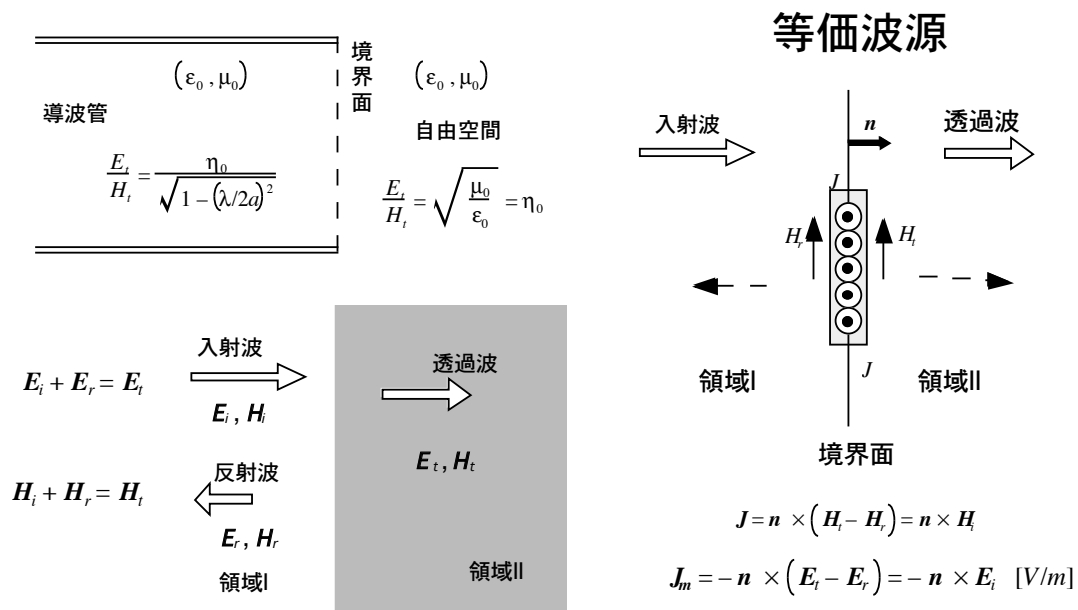
注2 積分

$$\begin{aligned} & \int_{-L/2}^{L/2} \sin \left[ k \left( \frac{L}{2} - |z| \right) \right] e^{jkz \cos \theta} dz \\ &= \int_0^{L/2} \sin \left[ k \left( \frac{L}{2} - z \right) \right] e^{jkz \cos \theta} dz + \int_{-L/2}^0 \sin \left[ k \left( \frac{L}{2} + z \right) \right] e^{jkz \cos \theta} dz \\ &= \int_0^{L/2} \sin \left[ k \left( \frac{L}{2} - z \right) \right] e^{jkz \cos \theta} dz + \int_0^{L/2} \sin \left[ k \left( \frac{L}{2} - z \right) \right] e^{-jkz \cos \theta} dz \\ &= 2 \int_0^{L/2} \sin \left[ k \left( \frac{L}{2} - z \right) \right] \cos(kz \cos \theta) dz \\ &= \int_0^{L/2} \sin \left[ k \left( \frac{L}{2} - (1 - \cos \theta)z \right) \right] dz + \int_0^{L/2} \sin \left[ k \left( \frac{L}{2} - (1 + \cos \theta)z \right) \right] dz \\ &= \frac{1}{k} \frac{1}{1 - \cos \theta} \cos \left[ k \left( \frac{L}{2} - (1 - \cos \theta)z \right) \right] \Big|_0^{L/2} + \frac{1}{k} \frac{1}{1 + \cos \theta} \cos \left[ k \left( \frac{L}{2} - (1 + \cos \theta)z \right) \right] \Big|_0^{L/2} \\ &= \frac{1}{k} \left( \frac{1}{1 - \cos \theta} + \frac{1}{1 + \cos \theta} \right) \left[ \cos \left( \frac{kL}{2} \cos \theta \right) - \cos \frac{kL}{2} \right] \\ &= \frac{\lambda}{\pi \sin^2 \theta} \left[ \cos \left( \frac{kL}{2} \cos \theta \right) - \cos \frac{kL}{2} \right] \end{aligned}$$

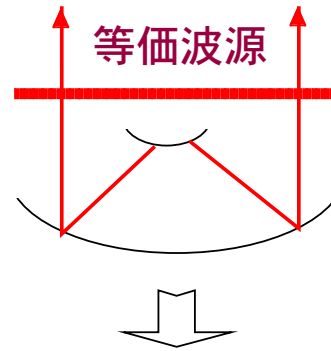
# 線の長さを変えたときのアンテナからの放射の様子



## 開口面アンテナの扱い      開口面に等価波源をおく考え方

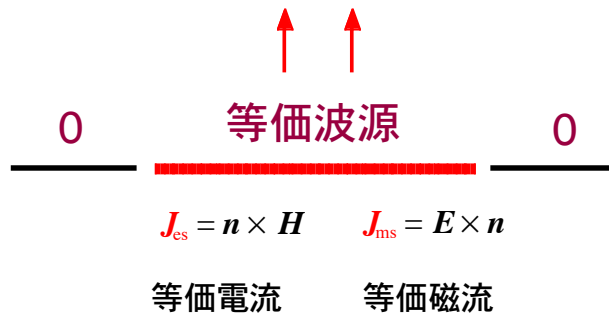


# 開口面アンテナ

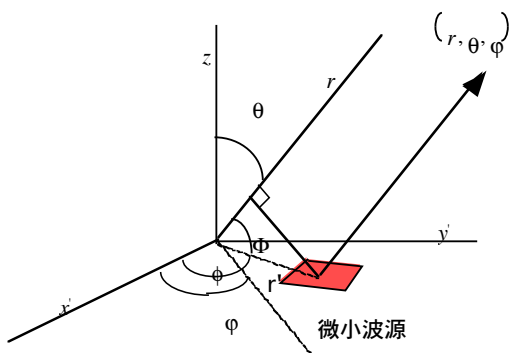


$$\nabla \times \mathbf{E} + \frac{\partial(\mu \mathbf{H})}{\partial t} = -\mathbf{J}_m \quad \text{磁流}$$

$$\nabla \times \mathbf{H} - \frac{\partial(\epsilon \mathbf{E})}{\partial t} = \mathbf{J}_e \quad \text{電流}$$



# 開口面からの放射



電流 面上に電流が分布

$$\mathbf{A}(\mathbf{r}) = \frac{\mu_0}{4\pi} \iint_S \frac{\mathbf{J}(\mathbf{r}')}{r} e^{-jk|r-r'|} dS$$

磁流 電流と双対な磁流を導入

$$\mathbf{A}_m(\mathbf{r}) = \frac{1}{4\pi \epsilon_0} \iint_S \frac{\mathbf{J}_m(\mathbf{r}')}{r} e^{-jk|r-r'|} dS$$

同様な計算手順を踏むと

結果的に  
放射電界は

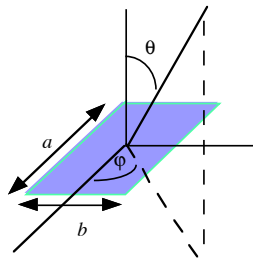
$$\mathbf{E}(\mathbf{r}) \propto \iint_{S'} \mathbf{J}(\mathbf{r}') e^{-jk|r-r'|} dS'$$

$$\Rightarrow \mathbf{E}(\mathbf{r}) \propto \iint_{S'} \mathbf{E}(\mathbf{r}') e^{-jk|r-r'|} dS'$$

開口面の波源分布

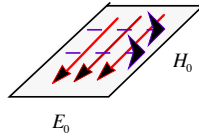


### 一様な開口分布をもつ開口面アンテナからの放射



$$J_x = -H_y = -H_0$$

$$J_{my} = -E_x = -E_0$$



$$\int_{-a/2}^{a/2} \int_{-b/2}^{b/2} J_x e^{jk(x' \cos \phi + y' \sin \phi) \sin \theta} dy' dx'$$

$$= -H_0 a b \frac{\sin\left(\frac{\pi a}{\lambda} \cos \phi \sin \theta\right)}{\frac{\pi a}{\lambda} \cos \phi \sin \theta} \frac{\sin\left(\frac{\pi b}{\lambda} \sin \phi \sin \theta\right)}{\frac{\pi b}{\lambda} \sin \phi \sin \theta}$$

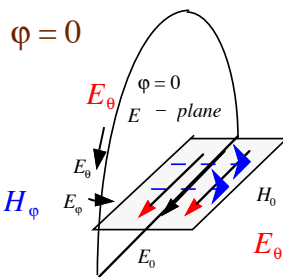
放射電界

$$E_\theta = \eta H_\phi = -\frac{j\eta a b}{2\lambda r} H_0 (1 + \cos \theta) \cos \phi \frac{\sin X}{X} \frac{\sin Y}{Y} e^{-jkr}$$

$$E_\phi = -\eta H_\theta = \frac{j\eta a b}{2\lambda r} H_0 (1 + \cos \theta) \sin \phi \frac{\sin X}{X} \frac{\sin Y}{Y} e^{-jkr}$$

$$X = \frac{\pi a}{\lambda} \cos \phi \sin \theta$$

$$Y = \frac{\pi b}{\lambda} \sin \phi \sin \theta$$

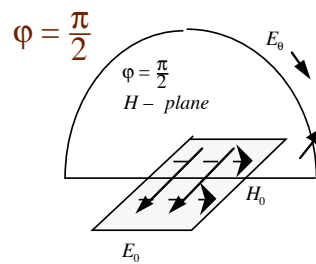


$\phi = 0$

$$X = \frac{\pi a}{\lambda} \sin \theta$$

$$Y = 0$$

$$E_\theta = \eta H_\phi \propto \frac{\sin X}{X}$$



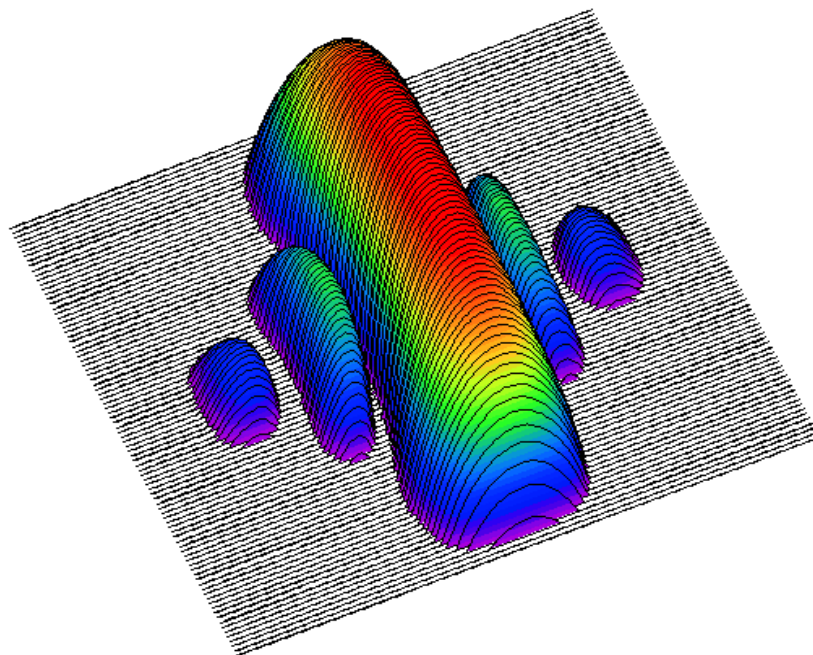
$\phi = \frac{\pi}{2}$

$$X = 0$$

$$Y = \frac{\pi b}{\lambda} \sin \theta$$

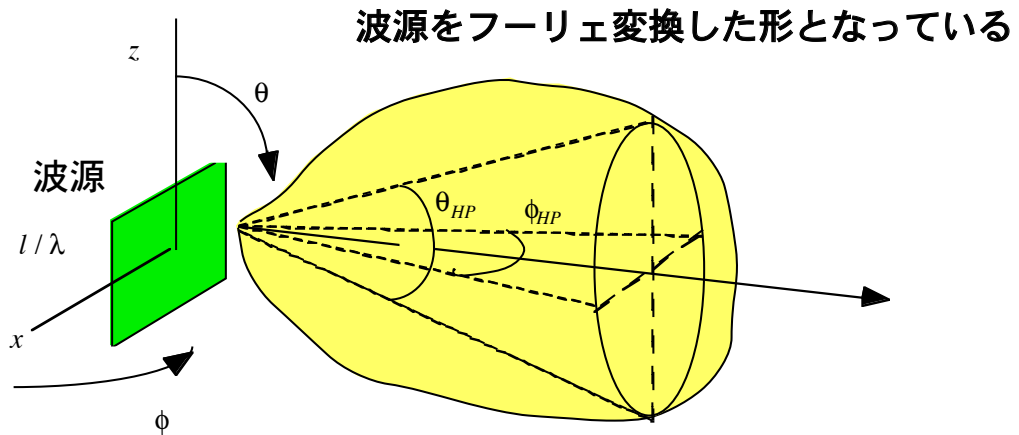
$$E_\phi = -\eta H_\theta \propto \frac{\sin Y}{Y}$$

### $2\lambda \times 3\lambda$ の方形導波管開口からの放射パターン例



$$E_\theta = \eta H_\phi = -\frac{j\eta a b}{2\lambda r} H_0 (1 + \cos \theta) \cos \phi \frac{\sin\left(\frac{\pi a}{\lambda} \cos \phi \sin \theta\right)}{\frac{\pi a}{\lambda} \cos \phi \sin \theta} \frac{\sin\left(\frac{\pi b}{\lambda} \sin \phi \sin \theta\right)}{\frac{\pi b}{\lambda} \sin \phi \sin \theta} e^{-jkr}$$

# 波源分布と放射パターン



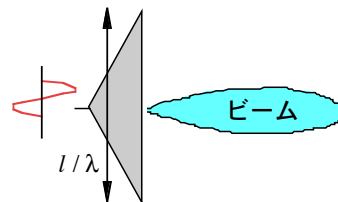
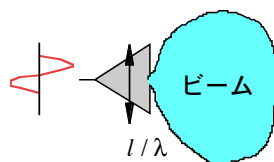
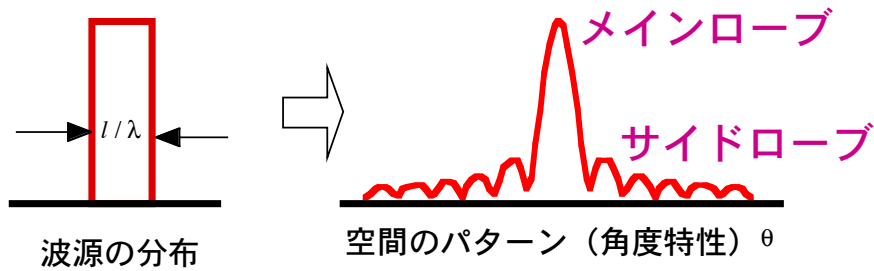
Fourier transform

線状 1次元

面状 2次元

## Fourier 変換の関係

ビーム：アンテナから出た電波の広がり具合



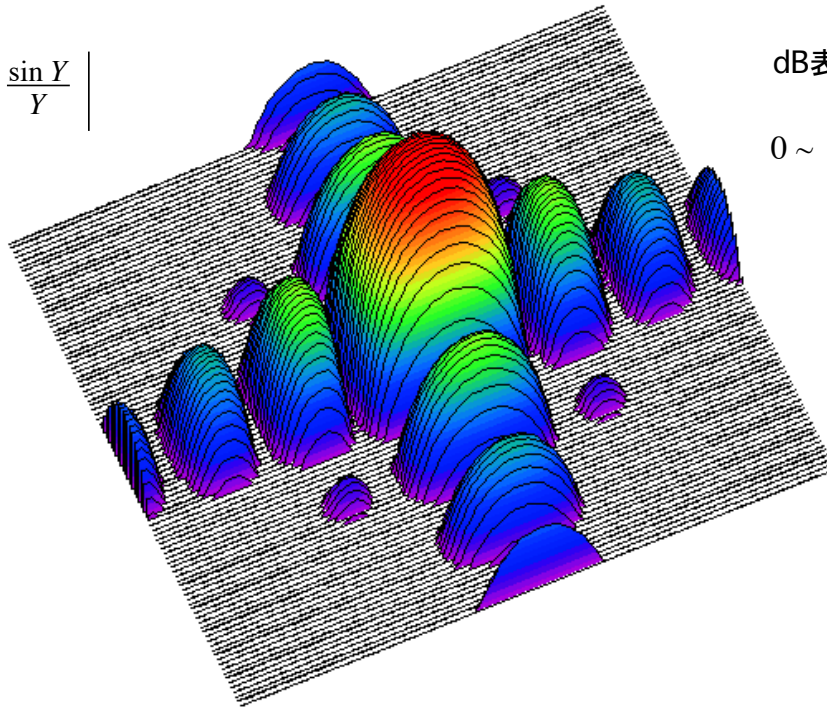
波長に比べて

小開口アンテナ  
ビームが広がる

大開口アンテナ  
ビームが絞られる

方形状の波源分布をフーリエ変換するとSinc関数が得られる

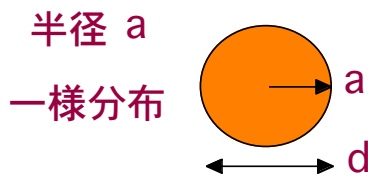
$$\left| \frac{\sin X}{X} \frac{\sin Y}{Y} \right|$$



dB表示

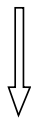
0 ~ -30 dB

円形開口アンテナの例

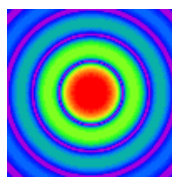


$$20 \log \left| \frac{2 J_1 \left( \frac{2\pi a \sin \theta}{\lambda} \right)}{\frac{2\pi a \sin \theta}{\lambda}} \right| \quad 0 \sim -30 \text{ dB}$$

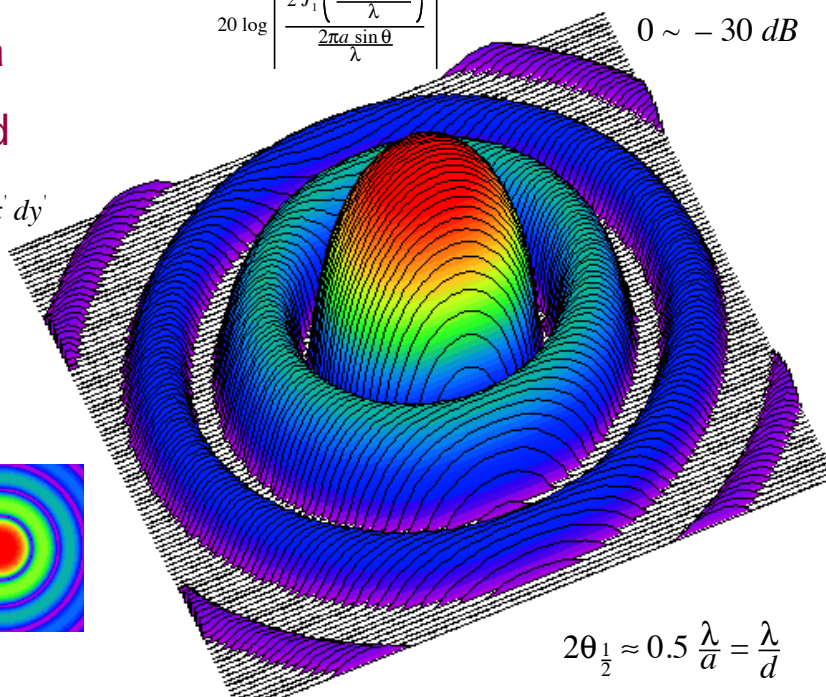
$$\iint_S \mathbf{E}(\mathbf{r}') e^{j\mathbf{k} \cdot (\mathbf{x}' \cos \phi + \mathbf{y}' \sin \phi) \sin \theta} dx' dy'$$



$$E \propto 2 \frac{J_1 \left( \frac{2\pi a \sin \theta}{\lambda} \right)}{\frac{2\pi a \sin \theta}{\lambda}}$$

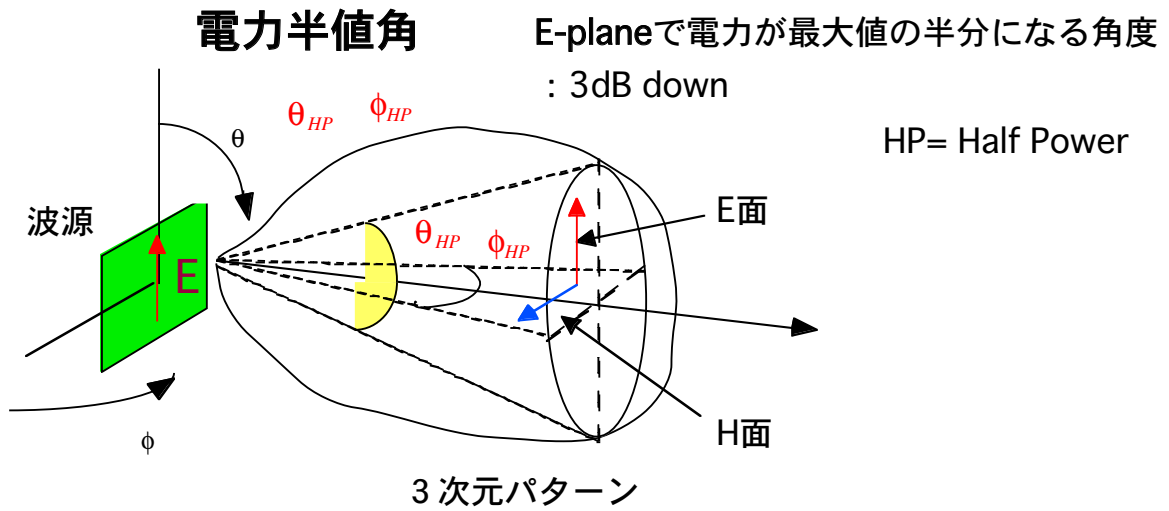


$J_1(\bullet)$  Bessel 関数



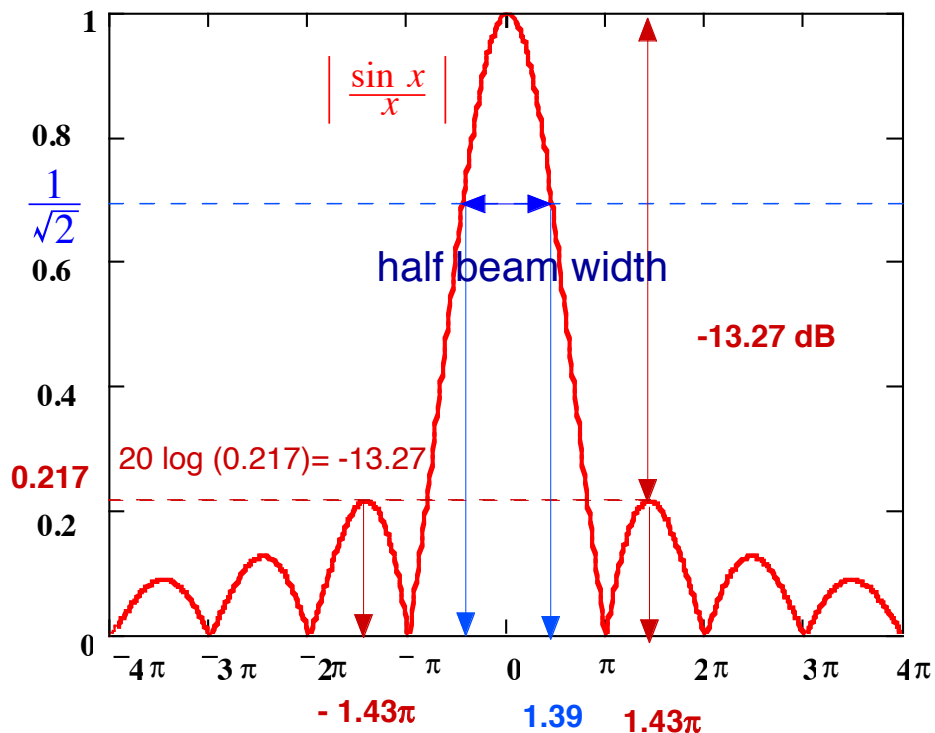
$$2\theta_{\frac{1}{2}} \approx 0.5 \frac{\lambda}{a} = \frac{\lambda}{d}$$

# 放射パターンのパラメータ



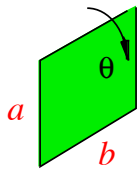
メインローブを通り、電界が主となる面（電界と平行な面）をE-plane, 磁界が主となる面をH-planeという.

## 電界の放射パターンから見る電力半値角とピークサイドローブレベル



## アンテナの大きさとビーム幅の関係式

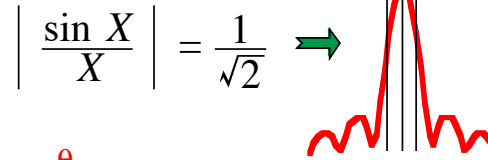
一様な開口分布をもつ開口面アンテナからの放射において



$$E_{\theta} = \eta H_{\phi} = -\frac{j\eta ab}{2\lambda r} H_0 (1 + \cos \theta) \cos \phi \frac{\sin X}{X} \frac{\sin Y}{Y} e^{-jk r}$$

$$X = \frac{ka}{2} \sin \theta = \frac{\pi a}{\lambda} \sin \theta$$

Half power



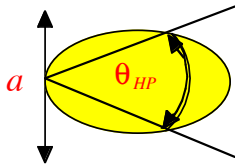
電力が半分になる角度幅は？

$$\frac{\pi a}{\lambda} \sin \frac{\theta_{HP}}{2} = 1.39 \quad \leftarrow \quad X = 1.39$$

Half beam width

$$\theta_{HP} = 2 \sin^{-1} \left( \frac{1.39 \lambda}{\pi a} \right) \approx 0.88 \frac{\lambda}{a} \text{ rad}$$

$$0.88 \text{ rad} = 50.6 \text{ degree}$$



$$\text{Half beam width} \approx \frac{\lambda}{a} 50.6^{\circ}$$

この式より大きなアンテナほど鋭いビームをもつことが分かる

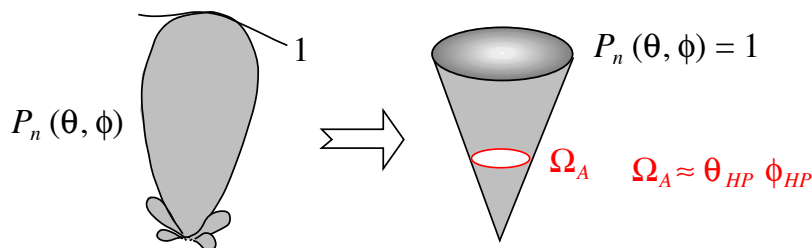
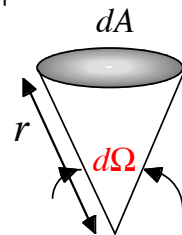
## 指向性利得について

立体角の定義  $d\Omega = \frac{dA}{r^2} = \sin \theta d\theta d\phi$

$$dA = r^2 \sin \theta d\theta d\phi$$

全立体角  $\Omega = \iint_{4\pi} d\Omega = \iint \sin \theta d\theta d\phi = 4\pi$

ビーム立体角  $\Omega_A = \iint_{4\pi} P_n(\theta, \phi) d\Omega$  重み付き積分

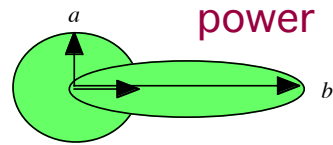


$P_n(\theta, \phi)$  **Normalized power pattern** 正規化電力パターン

アンテナによって放射電力が異なるため、正規化して比較する必要がある

**Directivity 指向性利得**

$$D = \frac{b}{a} \text{ [dB]}$$



定義式 
$$D = \frac{S(\theta, \phi)_{\max}}{S(\theta, \phi)_{\text{average}}} = \frac{S(\theta, \phi)_{\max}}{\frac{1}{4\pi} \iint_{4\pi} S(\theta, \phi) d\Omega} = \frac{4\pi}{\iint_{4\pi} P_n(\theta, \phi) d\Omega}$$

$$D = \frac{4\pi}{\Omega_A} \approx \frac{4\pi}{\theta_{HP} \phi_{HP}} \quad \text{電力半値角が分かれば、近似的に指向性利得が求められる}$$

$\theta_{HP} \phi_{HP}$

例 
$$D = \frac{4\pi}{\Omega_A} = \frac{4\pi}{\frac{\pi \theta_{HP}}{180} \frac{\pi \phi_{HP}}{180}} = \frac{41253 (\text{deg}^2)}{\theta_{HP} \phi_{HP}} = \frac{41253 (\text{deg}^2)}{20 \times 20} = 103 = 20.1 \text{ dB}$$

**Problem Poynting Vector**

$$S = \mathbf{a}_r S_r(\theta, \phi) = \mathbf{a}_r \frac{A_0}{r^2} \text{ [W/m}^2\text{]}$$

$$S = \mathbf{a}_r S_r(\theta, \phi) = \mathbf{a}_r \frac{A_0 \sin \theta}{r^2} \text{ [W/m}^2\text{]}$$

による指向性利得は？

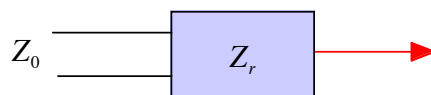
$$S = \mathbf{a}_r S_r(\theta, \phi) = \mathbf{a}_r \frac{A_0 \sin^2 \theta}{r^2} \text{ [W/m}^2\text{]}$$

**放射効率**

$$k = \frac{P_{\text{rad}}}{P_{\text{in}}} = \frac{P_{\text{rad}}}{P_{\text{rad}} + P_{\text{loss}}}$$

$k$ : efficiency factor ( $0 \leq k \leq 1$ )

入射した電力が放射される比率  
(高いほど良い)



$$P_{\text{in}} = P_{\text{loss}} + P_{\text{rad}}$$

$P_{\text{loss}}$  は熱損失などアンテナで消費されるエネルギー

**Antenna Gain  
利得 G**

$$G = k D \text{ dB}$$

実際の利得は指向性利得に放射効率を掛けて得られる。

**有効面積**

$$A_e = \frac{\lambda^2}{\Omega_A} = \frac{\lambda^2 D}{4\pi}$$

受信アンテナとしての特性を表す指標でアンテナ開口として動作する電氣的な面積

実際の形状面積でない

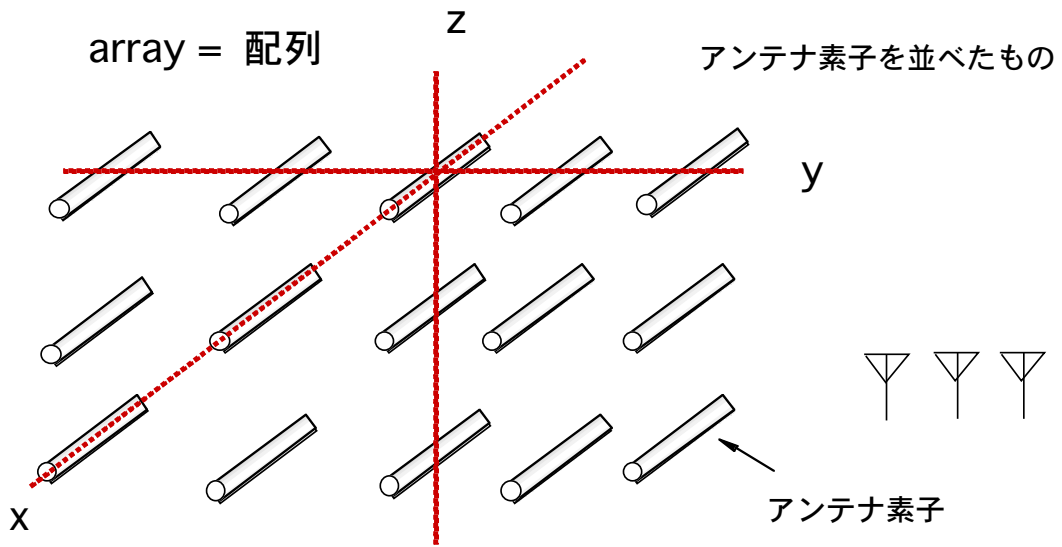
方形開口アンテナからの放射 - 1 -

	Uniform Distribution Aperture on Ground Plane	Uniform Distribution Aperture in Free-Space	TE <sub>10</sub> -Mode Distribution Aperture on Ground Plane
Aperture distribution of tangential components (analytical)	$\mathbf{E}_a = \hat{\mathbf{a}}_y E_0 \begin{cases} -a/2 \leq x' \leq a/2 \\ -b/2 \leq y' \leq b/2 \end{cases}$	$\mathbf{E}_a = \hat{\mathbf{a}}_y E_0 \begin{cases} -a/2 \leq x' \leq a/2 \\ -b/2 \leq y' \leq b/2 \end{cases}$ $\mathbf{H}_a = -\hat{\mathbf{a}}_x \frac{E_0}{\eta} \begin{cases} -a/2 \leq x' \leq a/2 \\ -b/2 \leq y' \leq b/2 \end{cases}$	$\mathbf{E}_a = \hat{\mathbf{a}}_y E_0 \cos\left(\frac{\pi x'}{a}\right) \begin{cases} -a/2 \leq x' \leq a/2 \\ -b/2 \leq y' \leq b/2 \end{cases}$
Aperture distribution of tangential components (graphical)			
Equivalent	$\mathbf{M}_s = \begin{cases} -2 \hat{\mathbf{n}} \times \mathbf{E}_a & -a/2 \leq x' \leq a/2 \\ \mathbf{0} & -b/2 \leq y' \leq b/2 \\ & \text{elsewhere} \end{cases}$ $\mathbf{J}_s = \mathbf{0}$ everywhere	$\mathbf{M}_s = -\hat{\mathbf{n}} \times \mathbf{E}_a \begin{cases} -a/2 \leq x' \leq a/2 \\ -b/2 \leq y' \leq b/2 \end{cases}$ $\mathbf{J}_s = \hat{\mathbf{n}} \times \mathbf{H}_a \begin{cases} -a/2 \leq x' \leq a/2 \\ -b/2 \leq y' \leq b/2 \end{cases}$ $\mathbf{M}_s = \mathbf{J}_s = \mathbf{0}$ elsewhere	$\mathbf{M}_s = \begin{cases} -2 \hat{\mathbf{n}} \times \mathbf{E}_a & -a/2 \leq x' \leq a/2 \\ \mathbf{0} & -b/2 \leq y' \leq b/2 \\ & \text{elsewhere} \end{cases}$ $\mathbf{J}_s = \mathbf{0}$ everywhere
Far-zone fields	$E_r = H_r = 0$ $X = \frac{ka}{2} \sin \theta \cos \phi$ $E_\theta = C \sin \phi \frac{\sin X}{X} \frac{\sin Y}{Y}$ $Y = \frac{kb}{2} \sin \theta \cos \phi$ $E_\phi = C \cos \theta \cos \phi \frac{\sin X}{X} \frac{\sin Y}{Y}$ $C = \frac{abkE_0 e^{-jkr}}{2\pi r}$ $H_\theta = -E_\phi / \eta$ $H_\phi = E_\theta / \eta$	$E_r = H_r = 0$ $E_\theta = \frac{C}{2} \sin \phi (1 + \cos \theta) \frac{\sin X}{X} \frac{\sin Y}{Y}$ $E_\phi = \frac{C}{2} \cos \phi (1 + \cos \theta) \frac{\sin X}{X} \frac{\sin Y}{Y}$ $H_\theta = -E_\phi / \eta$ $H_\phi = E_\theta / \eta$	$E_r = H_r = 0$ $E_\theta = -\frac{\pi}{2} C \sin \phi \frac{\cos X}{(X)^2 - (\frac{\pi}{2})^2} \frac{\sin Y}{Y}$ $E_\phi = -\frac{\pi}{2} C \cos \theta \cos \phi \frac{\cos X}{(X)^2 - (\frac{\pi}{2})^2} \frac{\sin Y}{Y}$ $H_\theta = -E_\phi / \eta$ $H_\phi = E_\theta / \eta$

方形開口アンテナからの放射 - 2 -

Half-power beamwidth (degrees)	E-Plane $b \gg \lambda$	$\frac{50.6}{b/\lambda}$	$\frac{50.6}{b/\lambda}$	$\frac{50.6}{b/\lambda}$
	H-Plane $a \gg \lambda$	$\frac{50.6}{a/\lambda}$	$\frac{50.6}{a/\lambda}$	$\frac{68.8}{a/\lambda}$
First null beamwidth (degrees)	E-Plane $b \gg \lambda$	$\frac{114.6}{b/\lambda}$	$\frac{114.6}{b/\lambda}$	$\frac{114.6}{b/\lambda}$
	H-Plane $a \gg \lambda$	$\frac{114.6}{a/\lambda}$	$\frac{114.6}{a/\lambda}$	$\frac{171.9}{a/\lambda}$
First side lobe max. (to main max.) (dB)	E-Plane	-13.26	-13.26	-13.26
	H-Plane $a \gg \lambda$	-13.26	-13.26	-23 $a \gg \lambda$
Directivity $D_0$ (dimensionless)		$\frac{4\pi}{\lambda^2} (\text{area}) = 4\pi \left(\frac{ab}{\lambda^2}\right)$	$\frac{4\pi}{\lambda^2} (\text{area}) = 4\pi \left(\frac{ab}{\lambda^2}\right)$	$\frac{8}{\pi^2} \left[4\pi \left(\frac{ab}{\lambda^2}\right)\right] = 0.81 \left[4\pi \left(\frac{ab}{\lambda^2}\right)\right]$

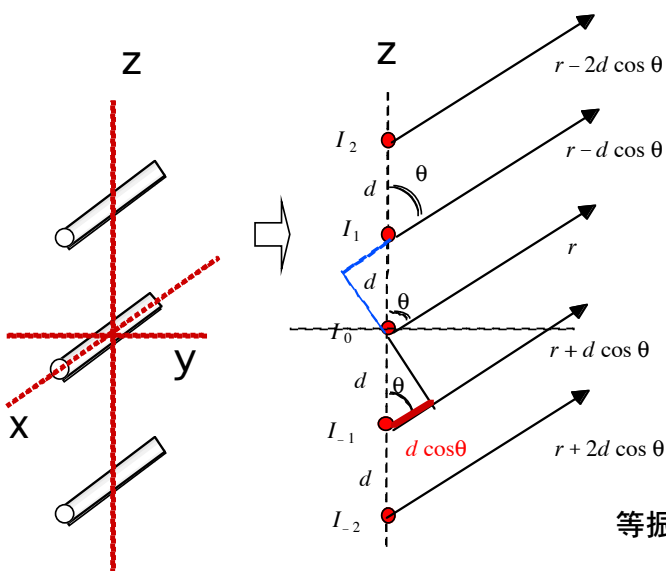
# アレイアンテナについて



小型のアンテナ素子を複数並べることによって、様々な機能を持たせることができる

## z軸方向に並んだアレイの合成電界

## 各素子による電界



$$KI_2 \frac{e^{-jk(r-2d \cos \theta)}}{r-2d \cos \theta} \approx KI_2 \frac{e^{-jkr}}{r} e^{j2kd \cos \theta}$$

$$KI_1 \frac{e^{-jk(r-d \cos \theta)}}{r-d \cos \theta} \approx KI_1 \frac{e^{-jkr}}{r} e^{jkd \cos \theta}$$

$$KI_0 \frac{e^{-jkr}}{r}$$

$$KI_{-1} \frac{e^{-jk(r+d \cos \theta)}}{r+d \cos \theta} \approx KI_{-1} \frac{e^{-jkr}}{r} e^{-jkd \cos \theta}$$

$$KI_{-2} \frac{e^{-jk(r+2d \cos \theta)}}{r+2d \cos \theta} \approx KI_{-2} \frac{e^{-jkr}}{r} e^{-j2kd \cos \theta}$$

等振幅電流なら  $I_2 = I_1 = I_0 = I_{-1} = I_{-2} \Rightarrow I$

合成電界は 
$$E = K \frac{I e^{-jkr}}{r} \left[ e^{j2kd \cos \theta} + e^{jkd \cos \theta} + 1 + e^{-jkd \cos \theta} + e^{-j2kd \cos \theta} \right]$$

K : 定数

$kd \cos \theta$  の位相差



$kd \cos \theta$  の位相差がある  $\rightarrow u = kd \cos \theta = \frac{2\pi d}{\lambda} \cos \theta$  とおく

合成電界  $\rightarrow E = \frac{I e^{-jkr}}{r} \sum_{n=-N}^N e^{jnu}$

$$\sum_{n=-N}^N e^{jnu} = \frac{e^{-jNu} - e^{j(N+1)u}}{1 - e^{ju}} = \frac{e^{j(N+\frac{1}{2})u} - e^{-j(N+\frac{1}{2})u}}{e^{j\frac{u}{2}} - e^{-j\frac{u}{2}}} = \frac{\sin\left(N + \frac{1}{2}\right)u}{\sin \frac{u}{2}}$$

それ故, 合成電界の表現式は

$$E = \frac{I e^{-jkr}}{r} \frac{\sin\left(N + \frac{1}{2}\right)u}{\sin \frac{u}{2}} \rightarrow E = \frac{I e^{-jkr}}{r} \times (\text{Array Factor})$$

$\Downarrow$  配列による効果

配列による効果は

素子単独の放射特性 から成っている

$$\text{Array Factor} = \frac{\sin\left(N + \frac{1}{2}\right)u}{\sin \frac{u}{2}} \quad \text{にて表現可能}$$

その最大値は  $\text{Max}(A.F.) = \frac{\sin\left(N + \frac{1}{2}\right)u}{\sin \frac{u}{2}} \Rightarrow \frac{\sin\left(N + \frac{1}{2}\right)u}{\left(N + \frac{1}{2}\right)u} \frac{u}{\sin \frac{u}{2}} \frac{\left(N + \frac{1}{2}\right)u}{\frac{u}{2}} \Rightarrow 2N + 1$  素子数に比例

$$u = \frac{2\pi d}{\lambda} \cos \theta \Rightarrow 0 \quad \Rightarrow \quad \theta = \frac{\pi}{2} \text{ 方向で最大値をもつ}$$

素子間隔は?  $d = \frac{\lambda}{2}$  と選べ

$$d \neq \frac{\lambda}{2} \Rightarrow u = kd \cos \theta$$

$$d = \frac{\lambda}{2} \Rightarrow u = kd \cos \theta = \frac{2\pi d}{\lambda} \cos \theta \Rightarrow \pi \cos \theta$$

$$\text{Array Factor} = \frac{\sin\left[\left(N + \frac{1}{2}\right)kd \cos \theta\right]}{\sin\left(\frac{kd}{2} \cos \theta\right)}$$

$$\text{Array Factor}_{d=\frac{\lambda}{2}} = \frac{\sin\left[\left(N + \frac{1}{2}\right)\pi \cos \theta\right]}{\sin\left(\frac{\pi}{2} \cos \theta\right)}$$

if  $d > \frac{\lambda}{2}$  then  $\frac{kd \cos \theta}{2} > \frac{\pi}{2} \cos \theta \Rightarrow$  there exist  $\theta$   $\sin\left(\frac{kd}{2} \cos \theta\right) = 0$

分母が0  $\Rightarrow$  grating lobeの発生

が起こる

不要方向へのエネルギー放射  $\Rightarrow$  好ましくない

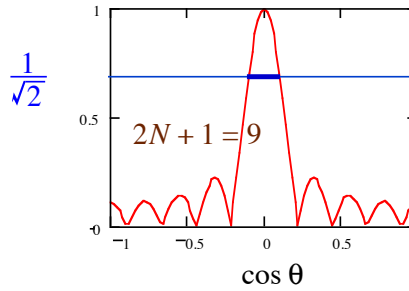
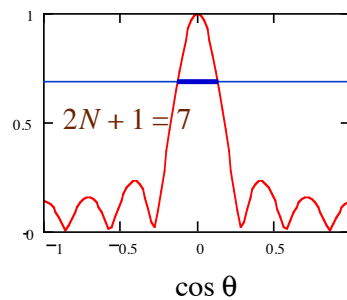
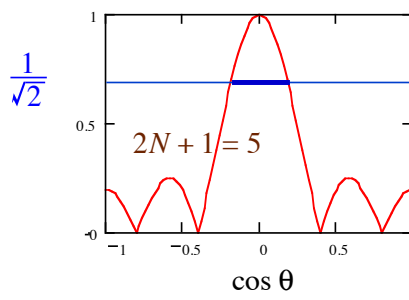
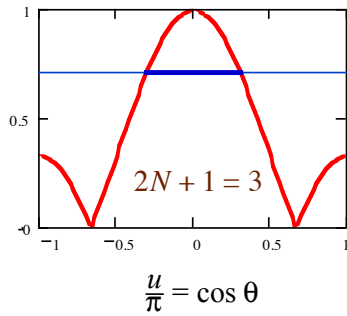
if  $d < \frac{\lambda}{2}$  then there arises antenna coupling

相互間素子結合が起こり, アンテナ素子の特性が変わる

$\Rightarrow$  好ましくない

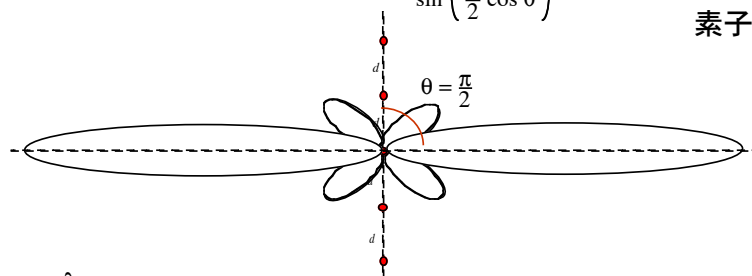
$$\text{Normalized } A.F. = \frac{\sin\left(N + \frac{1}{2}\right)u}{(2N + 1)\sin\frac{u}{2}}$$

の空間パターン  $d = \frac{\lambda}{2} \Rightarrow u = \pi \cos \theta$



素子数Nが増えるほど、鋭いビームが形成される

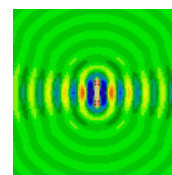
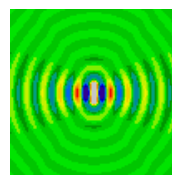
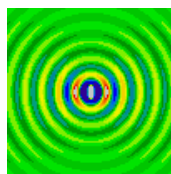
最大値は  $Max(A.F.) = \frac{\sin\left[\left(N + \frac{1}{2}\right)\pi \cos \theta\right]}{\sin\left(\frac{\pi}{2} \cos \theta\right)} \Rightarrow 2N + 1$  素子数に比例



$d = \frac{\lambda}{2} \quad u = \pi \cos \theta = 0 \quad \Rightarrow \quad \theta = \frac{\pi}{2}$  方向にビームがでる.

array antenna では素子数に応じて指向性利得が向上

放射電界の例

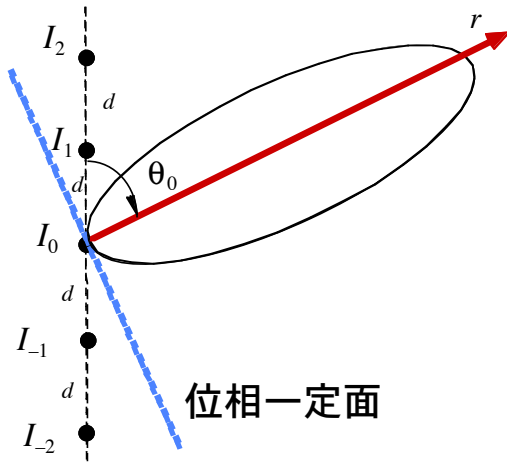


$2N + 1 =$  3 element

5

7

各素子の位相を制御



$$E = KI_0 \frac{e^{-jkr}}{r} \frac{\sin \frac{5}{2} kd (\cos \theta - \cos \theta_0)}{\sin \frac{1}{2} kd (\cos \theta - \cos \theta_0)}$$

宿題

5素子のアレイアンテナがある。各素子に位相

$$\varphi = k \cos \theta_0$$

だけ変化させると

素子電流は次の式になる

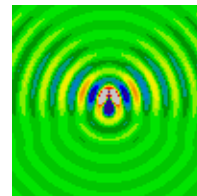
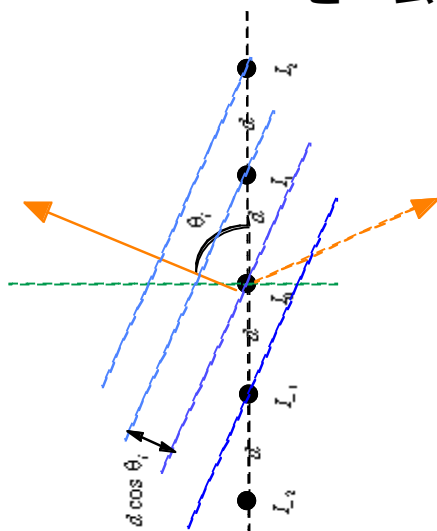
$$I(z) = I_0 \exp(-jk \cos \theta_0 z)$$

この場合の

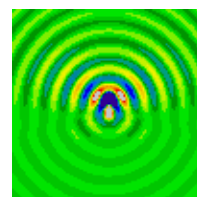
合成電界（放射パターン）

の表現式を導出しなさい

素子の振幅と位相を制御することにより、  
ビームの形と方向制御が可能



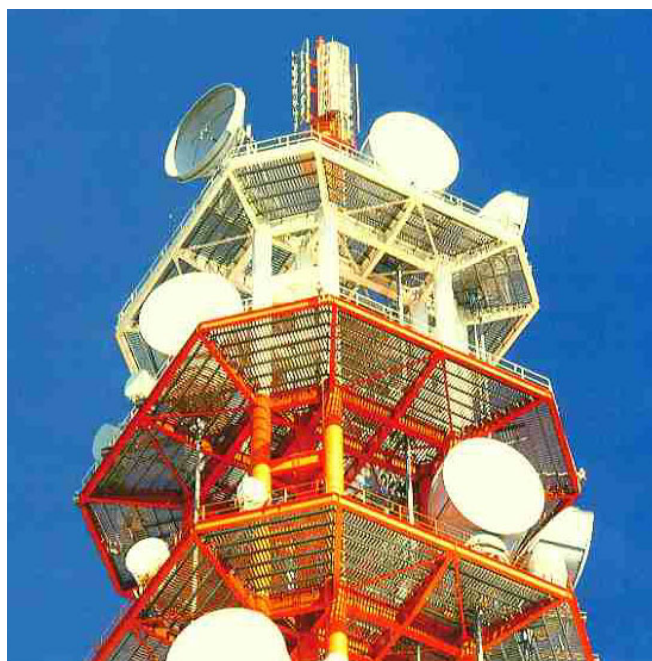
30度  
位相差あり



45度  
位相差あり



電気興業 提供



電気興業 提供